高牌号无取向硅钢硫化物、氮化物 析出的热力学计算

冯国辉¹,程传良¹,王 旭^{2*},乔家龙²,时朋召²,郭飞虎²,刘 磊²,仇圣桃²

(1. 南京钢铁股份有限公司板材事业部, 江苏 南京 210044; 2. 钢铁研究总院连铸技术国家工程研究中心, 北京 100083)

摘 要:通过对高牌号无取向电工钢 50W350 硫化物、氮化物的热力学计算,获得了析出物的平衡浓度关系。液相线温度以下,AIN 在 1700~1788 K 温度区间析出,TiN 的析出温度区间为 1588~1788 K,MnS 的析出温度区间在 1768~1788 K 范围内,Cu₂S 的析出温度范围为 1420~1768 K,并通过实际检测,证实了各温度区间析出物的存在。

关键词:无取向硅钢;液相线;固相线;硫化物;氮化物;溶度积

中图分类号:TF76

文献标志码:A

文章编号:1004-7638(2024)06-0194-07

DOI: 10.7513/j.issn.1004-7638.2024.06.026

开放科学 (资源服务) 标识码 (OSID):



听语音 聊科研

Thermodynamic calculation of sulfide and nitride precipitation in high grade non-oriented silicon steel

Feng Guohui¹, Cheng Chuanliang¹, Wang Xu^{2*}, Qiao Jialong², Shi Pengzhao², Guo Feihu², Liu Lei², Qiu Shengtao²

(1. Plate Business Department, Nanjing Iron and Steel Co., Ltd., Nanjing 210035, Jiangsu, China; 2. National Engineering Research Center of Continuous Casting Technology, Central Iron and Steel Research Institute, Beijing 100083, China)

Abstract: The equilibrium concentration relationship of precipitates was obtained by thermodynamic calculation of sulfide and nitride of the high grade non-oriented electrical steel 50W350. Below the liquidus temperature, AlN precipitates in the range of 1 700-1 788 K, TiN in the range of 1 588-1 788 K, MnS in the range of 1 768-1 788 K, Cu₂S in the range of 1 420-1 768 K. The existence of precipitates in each temperature range has been confirmed through detection.

Key words: non-oriented silicon steel, liquidus temperature, solidus temperature, sulfide, nitride, solubility product

0 引言

无取向硅钢中析出物的粒径为 $0.1 \sim 1$ μm 时,会导致最终的磁性能降低[1-4]。分析其原因,是百纳

米级夹杂物的存在阻碍了磁畴壁(尺寸为 100~900 nm)的正常移动^[5-7],使得晶粒不能正常长大^[8-10],最终降低了无取向硅钢产品的磁性能^[11]。Boc I 等人^[7]的研究得到了以下结论:夹杂物粒子在 0.005~

收稿日期:2023-01-22

作者简介:冯国辉,男,1978年出生,大学,工程师,主要从事特殊钢连铸坯质量控制研究工作,E-mail:fengguohui@njsteel.com.cn; *通讯作者:王旭,男,1987年出生,工学博士,主要从事连铸坏质量控制研究工作,E-mail:wx4594@126.com。

0.5 μm 范围和直径>0.5 μm 或者<0.005 μm 的粒 子分别进行比较,结果得出 0.005~0.5 µm 粒径对 磁性能重要得多。

文献 [4] 介绍了高牌号硅钢的硫化物和氮化物 的析出热力学计算,但是由于高端牌号硅钢本身的 保密性,即使不同企业同一牌号硅钢成分之间也并 不一致,尤其针对 Al、Mn 等额外添加的合金元素, 此外S和N的含量也体现了各个企业炼钢水平的 高低,上述成分之间差距均较大。

为此,笔者以国内某厂的高牌号无取向硅钢 50W350中的 MnS、Cu₂S、AlN 和 TiN 为例,针对具 体生产单位的高牌号中硫、氮化物等展开热力学分 析,从热力学角度研究了无取向硅钢生产过程中析 出物的规律。

热力学计算推导

由于热力学计算获得的是平衡浓度积和温度之 间的关系,进而可以得到具体硫、氮化物的析出温 度,这对现场理论指导有重要意义。

由于 MnS、Cu₂S、AIN 和 TiN 随着钢水降温过 程中溶解度逐渐发生变化,且固液相之间变化趋势 不同,因此当实际溶度积(Q)大于平衡溶度积 (K) 时, 意味着析出物开始析出。钢中的金属 M(铝、 锰等)与非金属 X(氮、硫)残余反应生成 MX。在反 应过程中平衡常数的计算如式(1)所示。

$$K_{\rm eq} = \frac{a_{\rm MX}}{a_{\rm M} a_{\rm X}} = \frac{1}{f_{\rm M} [\% {\rm M}] f_{\rm X} [\% {\rm X}]}$$
 (1)

式中, [%M] 为金属质量百分含量; [%X] 为氮、硫 的质量百分数; f_M 为金属元素活度系数; f_X 为氮、硫 的活度系数。

根据 MX 反应的 ΔG^{θ} 数据可得:

$$\lg K_{\rm eq} = -\frac{\Delta G^{\theta}}{2.3RT} = B - \frac{A}{T} \tag{2}$$

式(1)取对数,代入式(2)可得式(3):

$$\lg [\%M] + \lg [\%X] + \lg f_M + \lg f_X = B - \frac{A}{T}$$
 (3)

式中, B 代表 $\frac{\Delta S}{2.3R}$ 计算得到的具体数值, 其中 ΔS 为 熵变, R 为 8.314 J/(mol·K); A 代表 $\frac{\Delta H}{2.3R}$ 计算得到的 具体数值,其中 ΔH 为焓变。

由于钢中有关 MnS、Cu₂S、AIN 和 TiN 生成反 应的 $\lg f_M$ 、 $\lg f_X$ 值对式(3)中 B 值的影响很小,可以 将式(3)转换为式(4)。

$$\lg [\%M] [\%X] = -\frac{\Delta G^{\theta}}{2.3RT} = B - \frac{A}{T}$$
 (4)

经过上述公式的推导,可以获得具体的B和A, 此外也可获得平衡溶度积K和实际溶度积Q,如 表1所示。

表 1 AIN、MnS 在钢中的溶度积[2-3] Table 1 Solubility product of AlN and MnS in steel^[2-3]

化合物	K	Q	相
AlN	6.334-14 069/T	[%Al][%N]	液相
MnS	4.63-8 750/T	[%Mn][%S]	液相
AlN	5.37-14 640/T	[%Al][%N]	δ相
AlN	2.27-10 590/T	[%Mn][%S]	δ相
Cu_2S	26.31-44 791/T	[%Cu] ² [%S]	液相+δ相
TiN	5.56-17 025/T	[%Ti][%N]	液相+δ相

当钢水温度降低到两相区时,钢中的溶质元素 等元素发生偏析,此时氮、硫的含量及锰、铝元素的 含量分别用式(5)(6)计算。

$$[\%X] = \frac{[\%X]_0}{f_s(k_X - 1) + 1}$$
 (5)

$$[\%\mathbf{M}] = [\%\mathbf{M}]_0 (1 - f_s)^{k_{\rm M} - 1}$$
 (6)

式中, f_s 为固相百分率; k_M 为金属元素 M 的平衡溶 质分配因数; k_x 为非金属 X 的平衡溶质分配因数; 析出物形成实际的浓度积 Q_{MX} 可表示为 $^{[4]}$:

$$Q_{\text{MX}} = [\%\text{M}][\%\text{X}] = \frac{[\%\text{M}]_0[\%\text{X}]_0 (1 - f_s)^{k_{\text{M}} - 1}}{f_s(k_{\text{X}} - 1) + 1}$$
(7)

温度
$$T$$
 与固相百分率 f_s 的关系如式(8)表示。
$$f_s = \frac{(T_{Fe} - T_s)(T_1 - T)}{(T_1 - T_s)(T_{Fe} - T)}$$
(8)

式中,T为凝固过程中液相温度,K;T_E,为纯铁的熔 点 $(1809 \text{ K}); T_L$ 为液相线温度, $K; T_S$ 为固相线温度, K。

热力学计算条件

计算钢种为模拟高牌号典型无取向硅钢种 50W350, 其主要化学成分如表 2 所示。分别通过 FactSage 软件 Phase Diagram 相图计算模块, 其在 铁硅相图中位置如图 1 所示, 绿色线代表试验钢在 相图中的具体位置。表 3 为各个阶段的平衡溶质分 配因数和液相线。

液相线和固相线采用如下公式计算[4]:

 $T_{\rm L} = 1536 + 273 - \{[90[\%C] + 6.2[\%Si] + 1.7[\%Mn] + (1.7)[\%Mn] +$ 28[%P]+40[%S]+2.6[%Cu]+2.9[%Ni]+1.8[%Cr]+ 5.1[%A1] (9)

$$T_s = 1536 + 273 - \{[415.3[\%C] + 12.3[\%Si] + 6.8$$

 $[\%Mn] + 124.5[\%P] + 183.9[\%S] + 1.4[\%Cu] + 4.3$
 $[\%Ni] + 1.4[\%Cr] + 4.1[\%Al]\}$ (10)

表 2 试验钢的主要化学成分

1 abic	ė Z	Main cher	nicai composi	tion of the test	ea steel	
			•	•	•	

С	Mn	Si	S	P	Als	N	Ti	Cu
0.001 9	0.32	2.72	0.002 3	0.014	0.501 6	0.001 5	0.002 6	0.046

3 热力学计算结果

3.1 液相计算结果

从表 3 可以看出, 液相线 1 788 K, 因此本小节 计算的结果是温度在 1 788 K 以上的部分。将热力 学数据代入式(4)得出 AlN、TiN、MnS 和 Cu_2S 在 钢液中的平衡溶度积。图 $2 \sim 5$ 中为平衡溶度积和 实际溶度积取对数。从表 1 可以看出, 平衡溶度积 与温度 T 呈现正相关关系,图 $2 \sim 5$ 中曲线 K 对此 可以作出相关解释。钢中温度从液相线 1 788 K 上升 到 1 940 K, AlN 平衡溶度积 K 的取值范围为 $-1.57 \sim -0.91$, MnS 的平衡溶度积 K 取值在 $-0.29 \sim 0.11$; AlN 和 MnS 的 Q 和 K 两条曲线均没有交集,且 Q 值始终小于 K,即 AlN 和 MnS 都不可能析出。同

理对 TiN 和 Cu_2S 进行相关分析, 两者的 Q 都小于 K, 都不能析出。

%

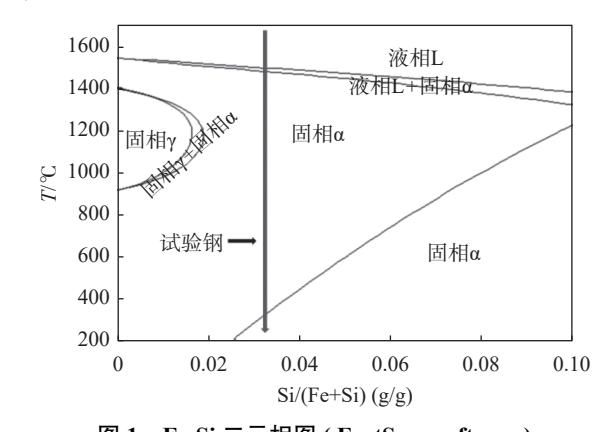


图 1 Fe-Si 二元相图 (FactSage software)
Fig. 1 Fe-Si binary phase diagram (FactSage software)

表 3 凝固过程中 AIN、MnS 参数选择^[3]
Table 3 Selection of AIN and MnS parameters during solidification process^[3]

Fe熔	液相线		固相线		平衡溶质分配因数					
点/K	温度/K	(Si+Al)/%	温度/K	(Si+Al)/%	$k_{\rm N}$	$k_{ m Al}$	k_{S}	$k_{ m Mn}$	k_{Ti}	k_{Cu}
1 809	1 788	3.2	1 768	3.2	0.28	0.92	0.1	0.74	0.3	0.9

3.2 凝固过程分析

50W350 牌号无取向硅钢凝固过程中不存在 γ 相,这一点从图 1 中可以看出,因此只需要计算 L→ α 和完全 α 即可。从表 3 可以看出,固相线温度为 1 768 K,液相线温度为 1 788 K,由于凝固阶段包含 固液相温度区间以及完全 α 阶段,即 L→ α 阶段,即 1 768 ~ 1 788 K 和固相线温度以下部分完全 α 阶段,即小于 1 768 K。

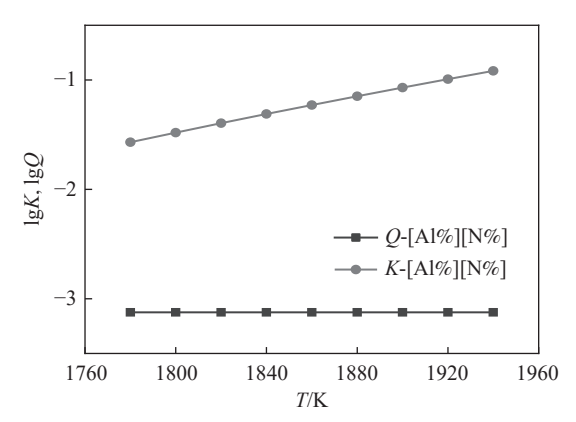


图 2 AIN 在钢液中溶度积关系 Fig. 2 Solubility product of AIN in liquid steel

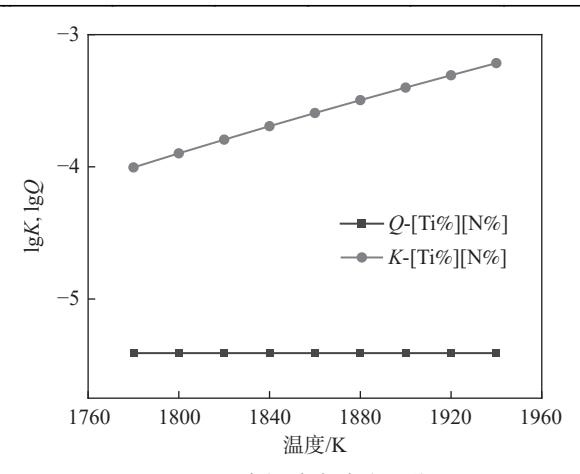


图 3 TiN 在钢液中溶度积关系 Fig. 3 Solubility product of TiN in liquid steel

3.2.1 L→a 阶段

根据溶度积公式计算,将固液相线代入公式(8),得到固相率 f_s ,再将固相率代入公式(7),就可以得到实际平衡浓度积 Q_o 图 6~9为相关氮化物、硫化物溶度积曲线。

AlN 的溶度积关系如图 6 所示。可以看出 Q 和 K 曲线没有交点,且 Q 始终能够高于 K, 这说明实际溶度积高于平衡溶度积,即次过程有 AlN 析出。

此外,从Q的变化趋势也可以知道,液相向固相转换过程中,溶质元素 AI 和 N 逐渐增高,因此其溶度积也在逐渐增加,从 1 768 K 时的 0.023 增加到 1 788 K 时的 0.029。由于 Q>K, AIN 在此温度范围内可以析出。

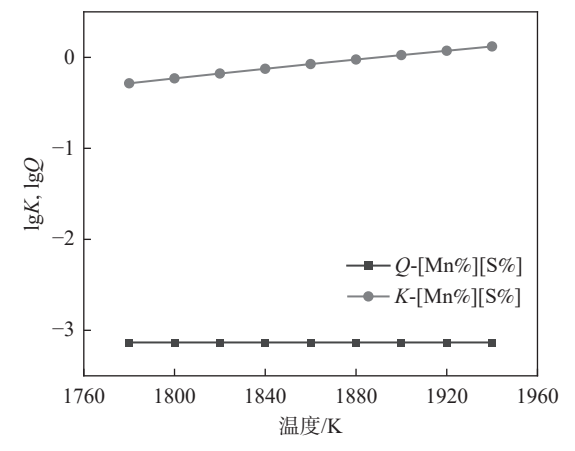


图 4 MnS 在钢液中的溶度积关系 Fig. 4 Solubility product of MnS in liquid steel

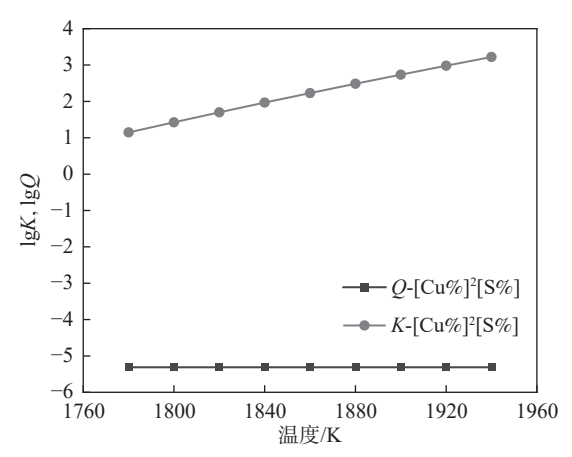


图 5 Cu₂S 在钢液中溶度积关系 Fig. 5 Solubility product of Cu₂S in liquid steel

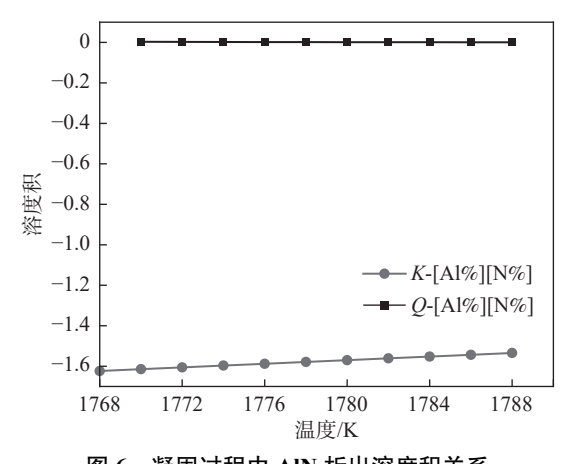


图 6 凝固过程中 AIN 析出溶度积关系 Fig. 6 Relationship of solubility product of AIN precipitation and temperature during solidification process

由图 7 可知,从 1788 K 降温到 1770 K,在此过程中Q和 K没有交点,但是Q始终大于K,这表明 TiN 在 1788~1788 K 温度范围内是可以析出的。

综上所述,液相线和固相线之间的 MnS 溶度积 关系如图 8 所示,MnS 的 Q 和 K 曲线没有交点,但 Q 始终高于 K,即 MnS 在此温度范围内是可以 析出的。

同理, 液相线和固相线之间的 Cu_2S 溶度积关系如图 9 所示, Cu_2S 的 Q 和 K 曲线没有交点, 且 Q 始终低于 K 值, 此种情况下 Cu_2S 不具备析出热力学条件。

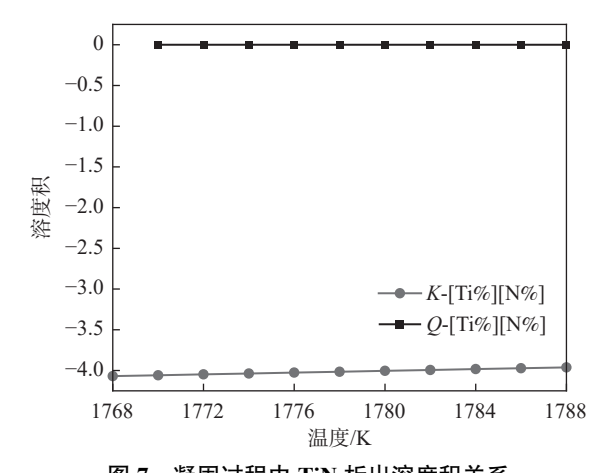


图 7 凝固过程中 TiN 析出溶度积关系 Fig. 7 Relationship of solubility product of TiN precipitation and temperature during solidification process

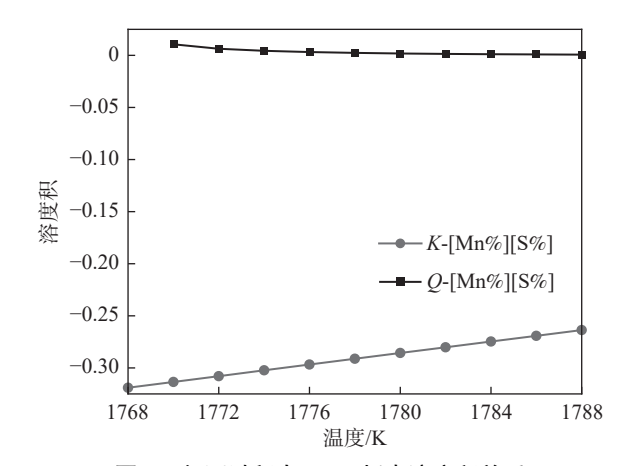


图 8 凝固过程中 MnS 析出溶度积关系 Relationship of solubility product of MnS pr

Fig. 8 Relationship of solubility product of MnS precipitation and temperature during solidification process

3.2.2 完全 α 阶段

图 $10 \sim 13$ 为高牌号 50ZW350 无取向硅钢凝固过程到完全 α 阶段, 氮化物和硫化物的析出溶度关系。由图 10 可知, K 和 Q 曲线相交点的横坐标

为 1 700 K, 即保持 Q大于 K 的温度范围必须是 1 700 K 以上, 在此范围内 AIN 可以从凝固过程中 析出。而 TiN 的 Q 和 K 曲线相交点横坐标为 1 588 K (见图 11), 也就是 1 588 K 温度范围以上, TiN 是能 够从凝固过程中析出的。而 MnS 的 Q 和 K 不相交,且 Q 数值小于 K(见图 12), 即 MnS 在此温度范围 内不可能析出。Cu₂S 的 Q 和 K 曲线相交点的横坐 标为 1 420 K(见图 13), 且在温度 1 420 K以上 Q 大于 K 时, Cu₂S 是可以析出的。

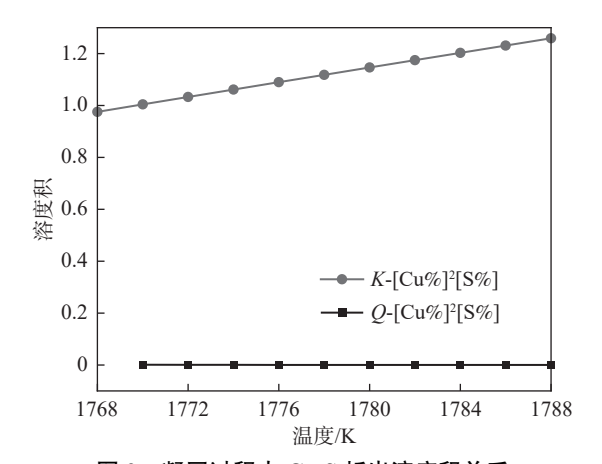


图 9 凝固过程中 Cu₂S 析出溶度积关系 Fig. 9 Relationship of solubility product of Cu₂S precipitation and temperature during solidification process

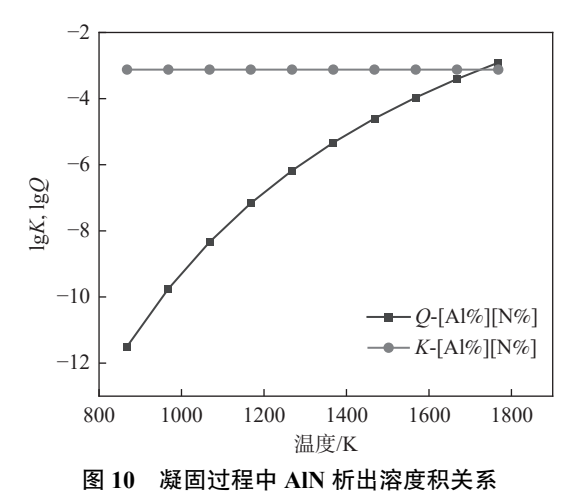


Fig. 10 展回过程中AIN 机试路及状大系
Fig. 10 Relationship of solubility product of AIN precipitation and temperature during solidification process

3.3 实际结果验证

为了证明上述分析的准确性,仅从热轧板取试样,经过电解抛光,并在扫描电镜下观察。图 14~17 为实际检测到的结果。这也说明了上述分析的可行性。

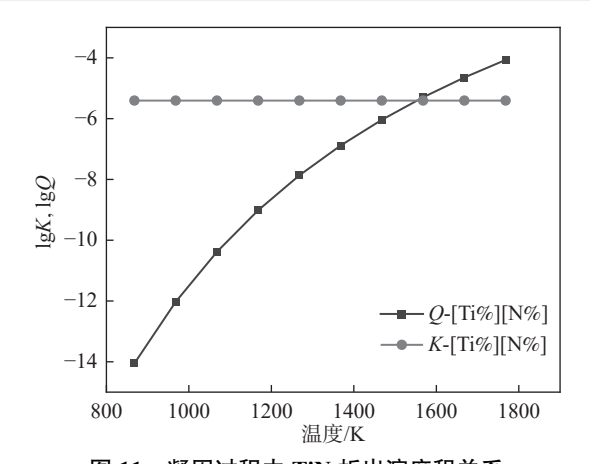


图 11 凝固过程中 TiN 析出溶度积关系 5.11 Relationship of solubility product of TiN precipitation and temperature during solidification pro-

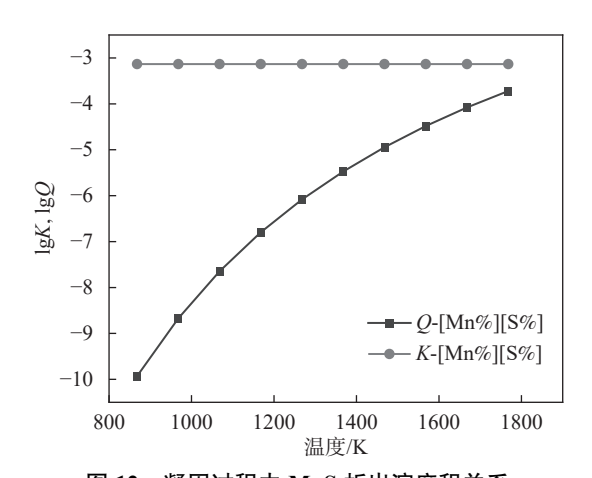


图 12 凝固过程中 MnS 析出溶度积关系
Fig. 12 Relationship of solubility product of MnS precipitation and temperature during solidification process

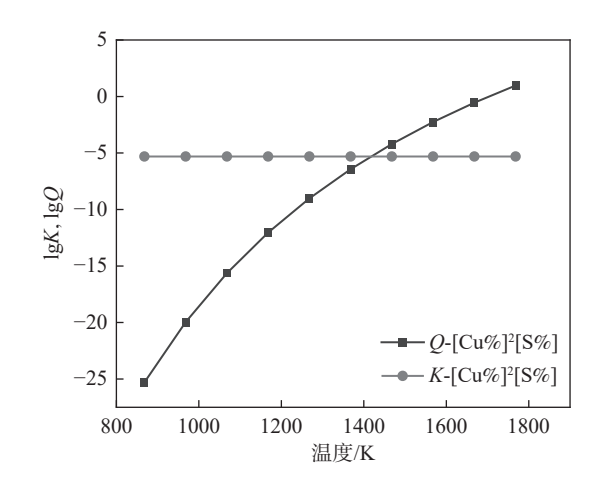


图 13 凝固过程中 Cu₂S 析出溶度积关系 Fig. 13 Relationship of solubility product of Cu₂S precipitation and temperature during solidification process



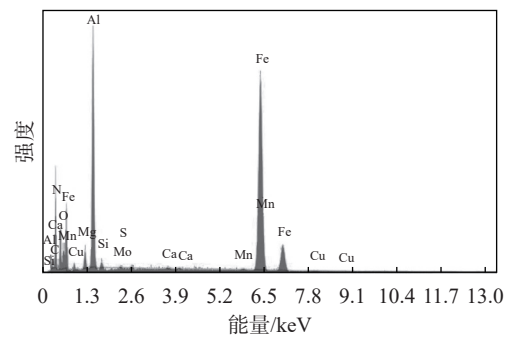
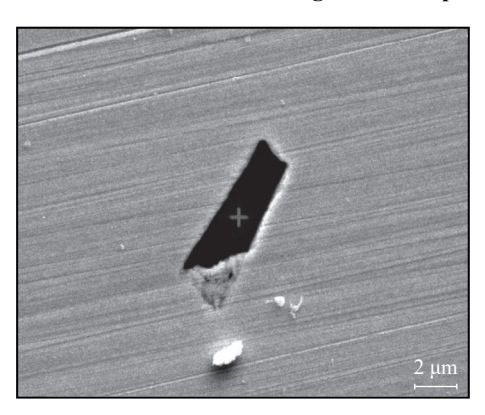


图 14 扫描电镜下的 AIN 析出物 Fig. 14 SEM photos of AIN precipitates



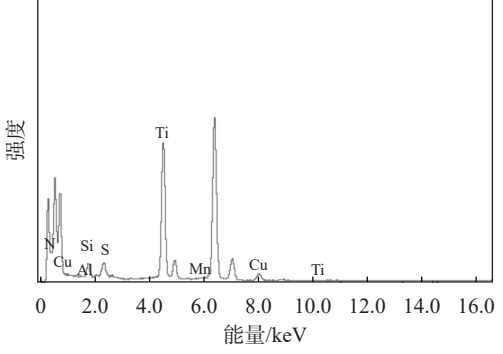


图 15 扫描电镜下的 TiN 析出物 Fig. 15 SEM photos of TiN precipitates



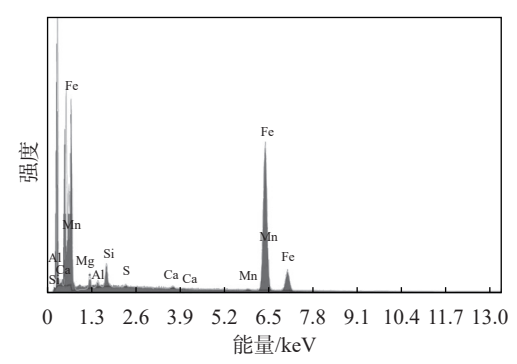
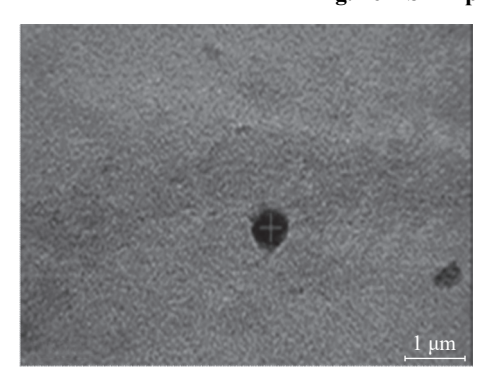


图 16 扫描电镜下的 MnS 析出物 Fig. 16 SEM photos of MnS precipitates



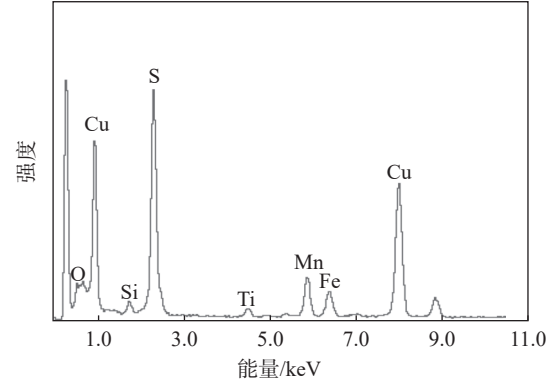


图 17 扫描电镜下的 Cu₂S 析出物 Fig. 17 SEM photos of Cu₂S precipitates

4 结论

- 1)在钢液中即液相线温度以上,AIN、TiN、MnS和Cu₂S均不能析出;
- 2) 在凝固过程中即液相线温度以下, AIN 在 L→α 阶段以及固相线以下部分温度段析出, 即

1700~1788 K 温度区间可能析出, TiN 在 L→α 阶段以及固相线以下部分温度段析出,即 1588~1788 K 温度区间析出, MnS 仅在 L→α 阶段,即 1768~1788 K 温度区间析出, Cu₂S 在固相线以下部分温度段,即 1420~1768 K 温度区间时析出。

参考文献

- [1] Li Wenquan, Gao Zhenyu, Luo Li, *et al.* Elementary analysis on influence of inclusion on magnetic performance of electric steel[J]. Angang Technology, 2004 (1): 18-21.
 - (李文权, 高振宇, 罗理, 等. 夹杂物对电工钢磁性能影响的初步分析[J]. 鞍钢技术, 2004(1): 18-21.)
- [2] Wu Yuan. Characteration of inclusion/precipitate and the effect of sulfide on the microstructure of the high-grade non-oriented silicon steel[D]. Shanghai: Shanghai University, 2017.
 - (吴媛. 高牌号无取向硅钢中夹杂物/析出物的表征及硫化物对组织影响的研究[D]. 上海: 上海大学, 2017.)
- [3] Wu Derun, Tang Hongle, Li Yuhua, *et al.* Effects of ladle top slag modification treatment on inclusion and electromagnetic properties of non-oriented electrical steels[J]. Electrical Materials, 2016(1): 5-16. (吴德润, 唐洪乐, 李玉华, 等. 钢包顶渣改性对无取向电工钢夹杂物和磁性能的影响[J]. 电工材料, 2016(1): 5-16.)
- [4] Wu Shuang, Fan Lifeng, Mao Yibiao, *et al.* Thermodynamics of sulfide and nitride precipitation in high-grade non-oriented electrical steel[J]. Metallurgical Collections, 2009(2): 3-12. (吴爽, 樊立峰, 毛一标, 等. 高牌号无取向电工钢中硫化物、氮化物析出的热力学分析[J]. 冶金丛刊, 2009(2): 3-12.)
- [5] Li Daizhong. Non-metallic inclusions in steel[M]. Beijing:Science Press, 1983. (李代钟. 钢中的非金属夹杂物[M]. 北京: 科学出版社. 1983.)
- [6] He Zhongzhi, Zhao Yu, Luo Haiwen. Electrical Steel[M].Beijing:Metallurgical Industry Press, 2012. (何忠治, 赵宇, 罗海文. 电工钢[M]. 北京: 冶金工业出版社,2012.)
- [7] Boc I. Analysis of inclusion in cold rolled Si-Fe strips[J]. Journal of Magnetism and Magnetic Materials, 1990, 83: 381-383.
- [8] Darja Steiner Petrovič, Boštjan Arh, Franc Tehovnic, *et al.* Magnesium non-metallic inclusions in non-oriented electrical steel sheets[J]. ISIJ International, 2011, 51(12): 2069-2075.
- [9] Wu Shaojie, Wan Yong, Chen Weiqing, *et al.* Examination and study on cleanliness of non-oriented silicon steel XG800WR in 210 t BOF-RH-CC steelmaking process[J]. Special Steel, 2011, 32(5): 56-59. (吴绍杰, 万勇, 陈伟庆, 等. 210 t BOF-RH-CC 炼钢流程无取向硅钢 XG800WR 洁净度的试验研究[J]. 特殊钢, 2011, 32(5): 56-59.)
- [10] Peng Qichun, Qiu Lei, Zou Jian, *et al.* Evolution of inclusions in non-oriented silicon steel W800 in 210 t during production process[J]. Iron and Steel, 2015, 50(8): 34-38.
 (彭其春, 邱雷, 邹健, 等. 无取向硅钢 W800 生产过程中夹杂物演变规律[J]. 钢铁, 2015, 50(8): 34-38.)
- [11] Lü Xuejun, Zhang Feng, Wang Bo, *et al.* Effects of inclusions on magnetic properties of non-oriented silicon steel[J]. Special Steel, 2012(4): 22-25.
 - (吕学钧, 张峰, 王波, 等. 夹杂物对无取向硅钢磁性能的影响[J]. 特殊钢, 2012(4): 22-25.)